

ЗАВИСИМОСТЬ ХАРАКТЕРИСТИК ИОННО-ФОТОННОЙ ЭМИССИИ ОТ КОНЦЕНТРАЦИИ ВНЕДРЕННЫХ АТОМОВ БОМБАРДИРУЮЩЕГО ПУЧКА

С.Ф. Б е л ы х, Р.Н. Е в т у х о в,
И.В. Р е д и н а, В.Х. Ф е р л е г е р

Важный этап в установлении природы частиц, испускающих оптическое излучение с непрерывным спектром (ИНС), связан с экспериментами [1–3], где впервые использовались пучки ионов металла (гольмия), продукты распыления которого интенсивно испускают ИНС. При бомбардировке ионами Ho^+ ряда металлов (в том числе и тех, что не испускают ИНС при бомбардировке ионами Ar^+ , Cs^+ , K^+) наблюдалось излучение, спектры которого совпадали как между собой, так и со спектром гольмийевой мишени. Там же было найдено, что ИНС уменьшается с ростом энергии E_0 пучка пропорционально сечению обратного рассеяния ионов Ho^+ . Эти результаты позволили сделать вывод, что наиболее вероятным источником ИНС является отдельный возбужденный атом гольмия.

В [2] обсуждалась и другая возможность – испускание ИНС возбужденной кислородсодержащей молекулой HoO^* . Молекула HoO может образоваться на поверхности мишени при имплантации в нее ионов Ho^+ , а затем отлететь в возбужденном состоянии в процессах распыления, либо ионно-стимулированной десорбции. Оценки в рамках каскадной модели распыления показали, что количество молекул HoO в условиях экспериментов [1–3] не могло обеспечить наблюдаемого коэффициента эмиссии ИНС ($\sim 10^{-3}$ – 10^{-2} фотона/ион). Однако к настоящему времени появились новые результаты, указывающие на то, что молекулы MeO^* (Me – атом металла) все же не могут быть исключены из числа возможных источников ИНС.

Во-первых, в [4] было показано, что в некоторых случаях наблюдается аномально большой относительный выход распыленных молекул MeO , вплоть до полного исчезновения моноатомного распыления, что противоречит каскадной теории распыления.

Во-вторых, в [5] обнаружено, что спектры излучения продуктов распыления Ho -мишени ионами K^+ и Ar^+ подобны спектрам испускания гольмия, возбуждаемого в пламенах, где, как считают, источником излучения являются молекулы HoO^* . Таким образом, для установления источника ИНС требуются дальнейшие исследования.

В данном сообщении излагаются результаты, полученные в схеме эксперимента, являющегося дальнейшим развитием методики [1–3] и позволяющего разделить вклад в ИНС рассеянных частиц пучка Me и распыленных частиц, среди которых могут быть и молекулы MeO . Детально предлагаемая методика и использованная экспериментальная установка будут описаны в следующей работе. Здесь же отметим, что указанное разделение в случае ИНС, характерного для вещества пучка, проведено в условиях контролируемой концентрации

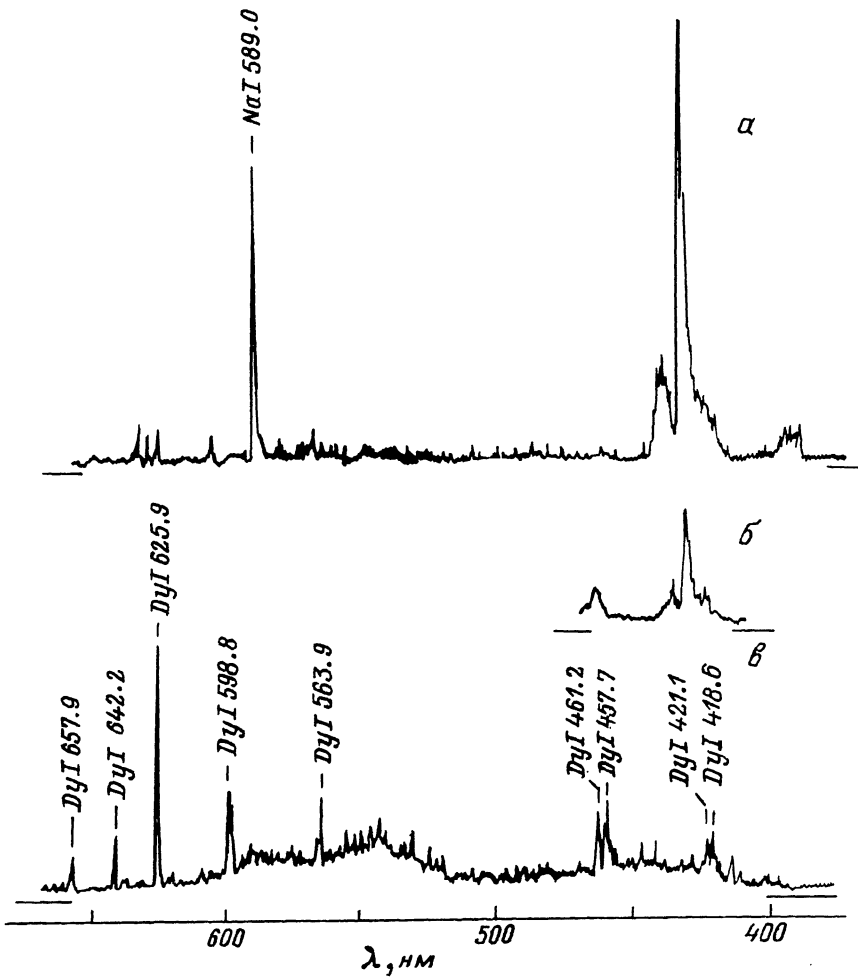


Рис. 1. Оптические спектры излучения, наблюдавшиеся при бомбардировке ионами Dy^+ поверхности тантала в случае: а - при скорости возобновления поверхности мишени $\sigma = 2 \text{ мм} \cdot \text{с}^{-1}$, что соответствует поверхностной концентрации атомов Dy $n \approx 0.01 n_\infty$; б - фрагмент спектра, полученного после прогрева мишени до $\sim 1200 \text{ К}$; в - установившийся режим бомбардировки ($\sigma = 0$, $n = n_\infty$).

n его атомов на поверхности мишени. Последнее реализуется при бомбардировке возобновляемой поверхности мишени ионами испускающего ИНС элемента. В этом случае ионный пучок последовательно облучает участки мишени, ранее не подвергавшиеся бомбардировке, и в месте бомбардировки поддерживается постоянный уровень

Рис. 2. Фрагмент оптического спектра излучения (410–470 нм) для ряда значений скорости возобновления мишени σ , $\text{мм} \cdot \text{с}^{-1}$: а – 2, б – ~ 0.1 , в – ~ 0.06 , г – 0.

концентрации n . В соответствии с [6] при малых дозах ионного облучения $j_0 t$ мишени, величину n можно представить в виде:

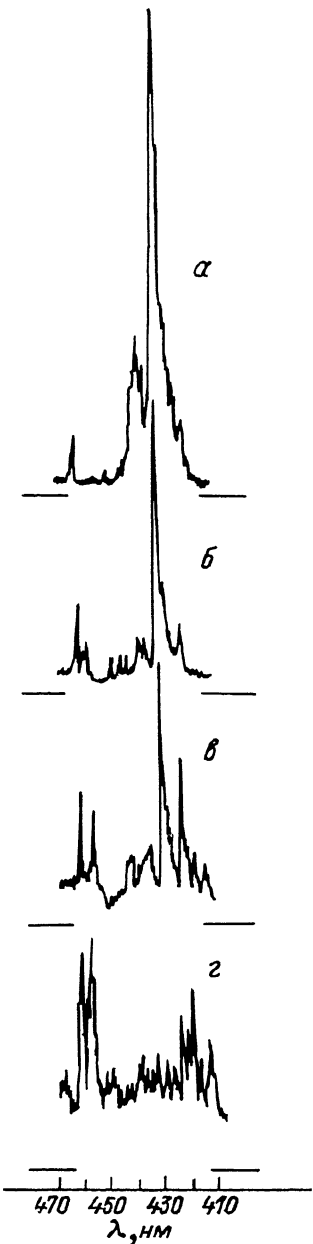
$$n = n_\infty \frac{K j_0 b}{n_0 \bar{x} e \sigma}, \quad (1)$$

где σ – скорость возобновления мишени, b – диаметр поперечного сечения пучка, n_∞ – поверхностная концентрация имплантированных атомов в установившемся режиме бомбардировки, \bar{x} – средний проктивный пробег ионов, n_0 – объемная концентрация атомов вещества мишени, e – заряд электрона, K – коэффициент распыления, j_0 – плотность ионного тока.

В такой постановке опыта для системы $Dy^+ - Ta$ были измерены оптические спектры излучения (350–650 нм) при разных значениях n , (рис. 1, а–в; рис. 2, а–г). Энергия E_0 и плотность тока j_0 ионов диспрозия составляли соответственно: $E_0 = 3.5$ кэВ, $j_0 = 3 \cdot 10^{-5}$ А · см $^{-2}$. Давление остаточных газов P не превышало $P \leq 1 \cdot 10^{-7}$ Торр. В качестве мишени использовалась возобновляемая поверхность тантала. В процессе регистрации спектров заданное значение концентрации n (при $j_0 = \text{const}$) достигалось, согласно соотношению (1), выбором величины σ .

Анализ полученных данных показал следующее.

1. Обнаружена существенная зависимость вида спектров от величины n . Из сравнения спектров следует, что при бомбардировке мишени, когда на ее поверхности концентрация имплантированных атомов Dy достаточно мала ($n \approx 0.01 n_\infty$, рис. 1, а), ИНС практически отсутствует и основной особенностью спектра является интенсивная узкая полоса в области длин волн ~ 430 нм. В установившемся режиме бомбарди-



ровки при $\kappa = \kappa_\infty$, (рис. 1, в), указанная полоса вообще исчезает, а в спектре излучения присутствуют три широких горба с максимумами при 440, 550, 580 нм и атомарные линии DyI . В этом случае вид спектра согласуется с тем, что наблюдается при бомбардировке Dy -мишени ионами инертных газов [7] и щелочных металлов [8]. Установившийся режим бомбардировки достигается через промежуток времени ~ 300 с после начала бомбардировки. Происхождение полосы при $\lambda = 430$ нм, по-видимому, связано с молекулами поверхностных загрязнений: прокалка мишени до температуры ~ 1200 К приводит к сильному уменьшению ее интенсивности, рис. 1, а, б.

2. Для участка спектра 410–470 нм исследована динамика спектров при варьировании величины σ в широких пределах, рис. 2, а–г. Найдено, что с уменьшением величины σ , и, соответственно, с ростом значения κ наблюдается постепенное исчезновение полосы при ~ 430 нм и появление ИНС. Показано также, что интенсивность и состав линейчатого спектра диспрозия претерпевают значительные изменения: одни линии наблюдаются лишь при малых значениях κ , тогда как интенсивность других линий возрастает с увеличением κ и достигает максимальных значений при $\kappa = \kappa_\infty$.

Таким образом, представленные результаты свидетельствуют о том, что рассеянные атомы Dy не испускают излучение с непрерывным спектром. Основной вклад в ИНС вносят распыленные частицы, содержащие атомы диспрозия.

Л и т е р а т у р а

- [1] Б е л ы х С.Ф., Е в т у х о в Р.Н., М о р о з о в С.Н. // Письма в ЖТФ. 1984. Т. 10. В. 13. С. 803–807.
- [2] Б е л ы х С.Ф., Е в т у х о в Р.Н., М о р о з о в С.Н. // Изв. АН СССР, сер. физ. 1985. Т. 49. № 9. С. 1798–1803.
- [3] Б е л ы х С.Ф., Е в т у х о в Р.Н. // ЖТФ. 1987. Т. 57. В. 5. С. 982–984.
- [4] K r a u s s A.R., G r u e n D.M. // J. Nucl. Mater. 1976. V. 63. P. 380–384.
- [5] Б р а с л а в е ц В.В., Е в д о к и м о в С.А., Б а н д у р и н Ю.А., Дащенко А.И., П о п С.С. // Письма в ЖТФ. 1986. Т. 12. В. 9. С. 543–547.
- [6] Б е л ы х С.Ф., В е к с л е р В.И. В сб.: Взаимодействие атомных частиц с твердым телом. Минск: МРТИ, 1978, с. 18.
- [7] К и я н Т.С., Г р и ц ы н а В.В., Ф о г е л ь Я.М. // ЖЭТФ. 1978. Т. 74. № 4. С. 1394–1404.

[8] Б е л ы х С.Ф., В е к с л е р В.И., Е в т у х о в Р.Н.
В сб.: Вторичная ионная и ионно-фотонная эмиссия. Харь-
ков, 1983, с. 158-160.

Институт электроники
им. У.А. Арифова АН УзССР,
Ташкент

Поступило в Редакцию
26 июля 1988 г.

Письма в ЖТФ, том 15, вып. 1
07; 08; 12

12 января 1989 г.

НЕЛИНЕЙНЫЕ ЭФФЕКТЫ ПРИ РАБОТЕ ВОЛОКОННО-ОПТИЧЕСКИХ МОДУЛЯТОРОВ

О.В. Г о р б а ч е в, А.П. Г о р ч а к о в,
А.П. Ж и л и н с к и й, О.И. К о т о в,
В.М. Н и к о л а е в, В.Н. Ф и л и п п о в

Акустические преобразователи для фазовой модуляции оптическо-
го излучения непосредственно в волоконном световоде (ВС) облада-
ют высокой эффективностью, небольшими габаритами и возможностью
монтажа без разрушения ВС [1, 2]. Однако к настоящему времени
в литературе практически не затронут вопрос об искажениях, со-
путствующих работе таких модуляторов. В единственной работе,
посвященной этому вопросу [3], экспериментально обнаружено,
что при повышении напряжения модулирующего сигнала на пьезо-
керамике появляется искажение спектра сигнала и нелинейная зави-
симость фазовой девиации.

Цель настоящей работы – выяснение основных причин, приводя-
щих к возникновению субгармоник и хаотических колебаний при
работе волоконно-оптических фазовых модуляторов, и исследование
влияния конфигурации расположения ВС вне модулятора на эффе-
ктивность его работы. Эксперименты ставились по схеме, аналогич-
ной используемой в работе [3]. Отличие состояло в двух момен-
тах:

– для регистрации величины фазовой девиации когерентного из-
лучения и амплитуды удлинения ВС применялась схема интерферо-
метра Фабри-Перо, в котором на диафрагмированном фотоприемни-
ке смешивались два луча света, прошедшего ВС 1 и 3 раза;

– мы контролировали форму оптического волокна вне модулятора.
Излучение лазера вводилось в волоконный световод с диаметром
оболочки из плавленного кварца 125 мкм. Акустические колебания
в основном возбуждались пьезокерамикой типа ЦТБС-3 с размера-
ми 100x11x18 мм на резонансной частоте 17 кГц.

До последнего времени не учитывалось, что ВС обладает упруги-
ми свойствами и растяжение либо сжатие в области контакта его
с акустическим преобразователем вызывает распространение упругих
колебаний по волокну в обе стороны от него. Поэтому результирующая